

名城大学 正会員 伊藤政博

1. はじめに

異常波浪によって海岸堤防前面の海浜砂が予想以上に急速かつ大量に移動すると、堤防部に洗掘が走り、堤防の決壊にまで至る事例が数多くある。海岸堤防前面に生じる洗掘および海浜変形について、樺木ら(1960), Heribich(1965) および佐藤ら(1966)など的研究を始めとして、かなり多くの研究成果が発表されている。いずれもこれらの研究は、現地海岸を相似則に従って再現してものでなく、実験結果は詳細に検討を加えたものや、理論結果を見度て確かめられたものである。しかし、これらの研究成果を現地海岸へ適用する場合に、反対側で実験的再現する場合など、相似則が適用とされる。しかし、この相似則はいまだ定量的に明らかにされていない。

本研究は、底質に鉛直の海岸堤防を設置した場合、堤防前面の洗掘および海浜変形の再現性を2次元実験で調べることを目的とし、従来、著者らが実験的に明らかにして2次元海浜変形の相似則との対応性についても検討する。この種の実験は、一般に、逆波水槽内の海浜に鉛直堤防を入れると、堤防と逆波板との間に生じる波の多重反射の影響が無視できなくなる。この影響下、著者が実験的に確かめた結果によると、碎波帯より沖側の堤防を設置した場合、特に着目してくる。しかし、この研究では、波の多重反射の影響が比較的小さく可能である。汀線付近に堤防設置位置を固定することとした。

2. 実験方法とFび実験基準

2種類の方法で実験を行なった。すなわち、Series A の実験では、底質にえんどう粒径の珪砂を使用して、実験の方法とFび波の特性と逆波水槽の規模から底質最大のもの(Run No. SD3M-1 から SD3M-5)から最小のもの(Run No. SD3M-4 から SD3M-8)までの段階的に縮尺を変えて。一方、Series B の実験では、佐藤らが運輸省港湾技術研究所の大逆波水槽で行なった実験条件および結果を原型としている。この実験で、佐藤らは堤防設置位置Xを碎波点X_bのPCF, X/X_b=0.06, 0.11 および 0.86 で変化させながら、特に X/X_b=0.06 の場合のみを採用する。この模型の実験条件は、図-3 に示す著者の相似則(similitude zone, Ad > 1)から波の縮尺(1/L_{in}=2.2 すなわち Scale=1/2.2)および底質粒径(d₅₀=0.15 mm の珪砂)で決定している。以上、いずれの実験も原型に対して模型の長さからFび波の特性に関する実験条件は、水平・鉛直方向を同縮尺としている。表-1には、このようなに決定して実験条件が表わしてある。

これらの実験は、フランジャー式逆波水槽を有する長さ 28 m, 幅 1 m および深さ 1 m の鋼鉄製片面ガラス張りの2次元逆波水槽を長さ方向に幅約 50 cm の鉛直板で分離し、ガラス側面部で行なった。この逆波水槽に、一様な初期海浜勾配を走り、表-1 で定めた相似則を 24 時間作用させて、平衡海浜を走り、次に、X/X_b=0.06 にて X/X_b=0.06 の堤防を入れ、さらに同じ波を 24 時間作用させ、その際堤防前面の洗掘および海浜変形を小刻みに測定した。

3. 実験結果と比較

表-1 実験諸元													
実験結果と比較として Series Scale Run No. I ₀ d ₅₀ (mm) T (sec) H _a (cm) h (cm) H _a /L ₀ d _w /H _a h/L ₀ $\sqrt{H_a d_{50}} / v$ I/T Constructed position of sea wall X/X _b													
向-1 (a) と Run No. SD3M-1 を原型とし、Run No. SD3M-1 ～ SD3M-8 を模型として、平衡海浜形状の比較が本題である。これら両者の相似比の割合													
A	1/1	SD3M-1	0.3	2.24	11.4	55.6	0.015	0.0026	0.071	275	3.6×10^4		
	1/1.1	SD3M-1'	0.3	2.34	10.3	50.0	0.015	0.0029	0.071	277	6.1		
	1/1.8	SD3M-2	0.3	2.12	6.9	33.3	0.015	0.0042	0.071	234	8.0		
	1/2.8	SD3M-3	0.3	1.73	4.1	30.0	0.015	0.0073	0.071	187	6.4		
	1/4.4	SD3M-4	X _b	0.3	1.34	2.6	12.5	0.015	0.0015	0.071	156	8.2	
	1/1.1	SD3M-5	0.15	1.06	10.3	50.0	0.015	0.0015	0.071	114	4.1		
	1/2.2	SD3M-6	0.15	2.12	5.2	25.0	0.015	0.0029	0.071	75	6.8		
	1/3.3	SD3M-7	0.15	1.50	3.4	16.7	0.015	0.0044	0.072	66	7.1		
B	1/1.4	SD3M-8	0.15	1.22	2.0	12.5	0.015	0.0058	0.071	57	8.2		
	Proto. (Sato et al.) 1966		X _b	0.21	8.30	48.4	105.0	0.051	0.0005	0.13	376	0.9-1.6	
X/X _b = 0. (shoreline) $\theta = 90^\circ$													
X/X _b = 0.06 $\theta = 90^\circ$													

実験結果は表-1に表わしてある。図-1-(b)にて、半倒海浜の灯籠孔堤防を入れた後、さらに波を24時間作用させた後の洗掘および海浜変形が堤防の位置を底盤原点に取り、図-1-(a)と左右対応させて示してある。図-1-(b)では、原型と模型の堤防位置が底盤原点に取ってあるため、海浜変形が進行左右にずれている。原型と模型の相似性を判定するにあたって、堤防前面の洗掘形状もあわせて検討できようが、ここで洗掘形状を3種類のタイプ別に大別することを考える。すなはち、

タイプI：堤防前面のみが非常に深く侵食されたV型洗掘

タイプII：堤防より少し離れたところが深く侵食された凹型洗掘

タイプIII：堤防から沖に向て徐々に深くなる傾斜面壁あるいは一様に水深が存在する平坦型洗掘。

図-1には、図-1-(b)で示す原型および模型について、堤防前面の洗掘深と冲浪波高との比で表された洗掘深 Ah/H_0 の経時変化に洗掘形状タイプ別が併示してある。この図では、原型(Run No. SD3M-1)に対して、洗掘深および洗掘形状のタイプ別、経時変化が完全に一致する模型はないが、相似性の判定は、洗掘深、洗掘形状のタイプ別、海浜変形など、経時変化、ならびに実験誤差を加味して総合的に行なうことが必要である。この判定結果より、堤防設置前の平衡海浜形状の相似性と堤防設置後洗掘深および海浜変形の相似性が比較的よく一致していることがわかる。表-1のすべての実験結果について、堤防前面の洗掘深と海浜変形の相似性の判定結果をまとめ、統計、筆者らが明らかにして海浜変形の相似性を示す圖とあわせて、図-3に示した。この図から、海浜変形のみの相似性が成立する領域では、堤防前面の洗掘および海浜変形の再現性もかなり高いことがわかる。

[参考文献]

- 1) 土屋義人・伊藤政博：海浜変形の相似性に関する実験的研究、第3回海岸工学講演会論文集、昭和51年～52年。
- 2) 伊藤政博：堤防越波模型実験について、第3回海岸工学講演会論文集、昭和52年。

表-2 相似性の判定結果

基準 Run NO.	範囲 Run NO.	相似性の判定結果		
		平衝海浜形状	海浜防護設置後 洗掘深	海浜形状
SD3M-5	△	◆	◆	◆
SD3M-6	○	○	○	○
SD3M-7	○	○	○	○
SD3M-8	○	○	○	△
放送・田中・入江	○	○	○	△
SDI				

○: 線型、△: 誤差範囲、◆: 非線型

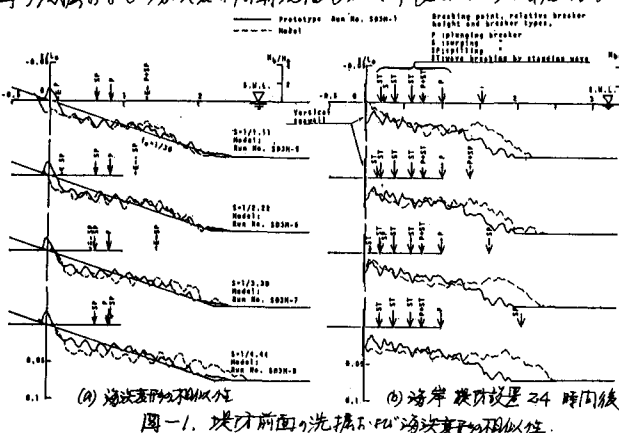


図-1. 堤防前面の洗掘による海浜変形の相似性。

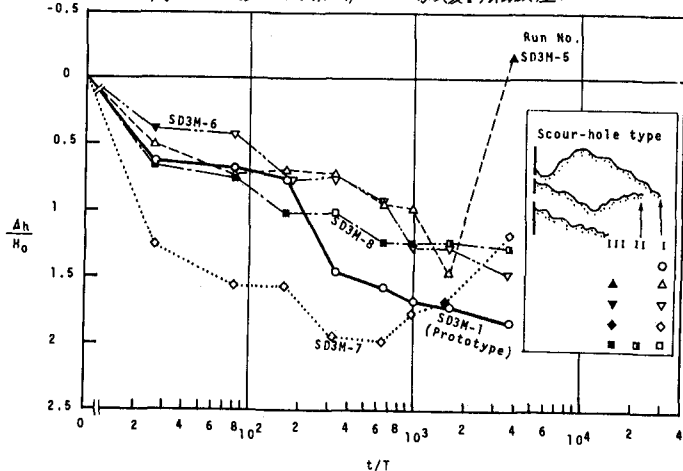


図-2. 洗掘深による洗掘形状タイプ別経時変化

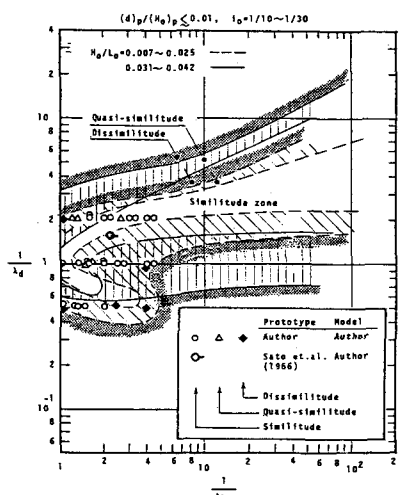


図-3. 堤防前面の洗掘による海浜変形の相似性